



Estruturas de Dados II

Algoritmo de Bellman-Ford

Prof. Leonardo C. R. Soares - leonardo.soares@ifsudestemg.edu.br

Instituto Federal do Sudeste de Minas Gerais

6 de setembro de 2024

^aEste material é fortemente baseado nas notas de aula do professor Marco Antonio Moreira de Carvalho - UFOP



Algoritmo de Bellman-Ford

Arestas de peso negativo

Para além das distâncias geográficas, caminhos mais curtos podem modelar diversas outras situações reais, incluindo aquelas que para serem modeladas necessitam de arestas cujo peso é negativo:

- ▶ Movimentações financeiras, nas quais é possível obter lucro ou prejuízo, principalmente quando há utilização de câmbio;
- ▶ Um taxista que recebe mais dinheiro do que gasta com combustível a cada viagem: se o táxi roda vazio, ele gasta mais do que recebe;
- ▶ Um entregador que necessita atravessar um pedágio e pode acabar pagando mais do que recebe para entregar encomendas;
- ▶ A energia gerada e consumida durante uma reação química.





Algoritmo de Bellman-Ford

Princípio

Ao invés de fechar um vértice por iteração, como o algoritmo de Dijkstra, o algoritmo de Bellman-Ford examina todos os vértices de um grafo **orientado** por iteração até que atualizações não sejam possíveis.

Em um grafo com n vértices, qualquer caminho possui no máximo $n - 1$ arestas, portanto, cada vértice é examinado no máximo $n - 1$ vezes.

Com esta estratégia, é possível calcular caminhos mínimos em grafos com arestas de **peso negativo**.

Assim como o algoritmo de Dijkstra, baseia-se no princípio de relaxação: uma aproximação da distância da origem até cada vértice é gradualmente atualizada por valores mais precisos até que a solução ótima seja atingida.





Algoritmo de Bellman-Ford

Princípio

Se, em alguma iteração do algoritmo os caminhos até cada um dos vértices permanecerem inalterados, não haverá atualizações nas próximas iterações e o algoritmo pode terminar.





Algoritmo de Bellman-Ford

Princípio

Se, em alguma iteração do algoritmo os caminhos até cada um dos vértices permanecerem inalterados, não haverá atualizações nas próximas iterações e o algoritmo pode terminar.

Entretanto, se houver atualizações na última iteração do algoritmo, é sinal de que há pelo menos um ciclo negativo no grafo, dado que algum caminho terá n arestas ou mais. Para este caso, o algoritmo não será capaz de retornar o caminho mínimo, a maioria das implementações retorna *false* para este caso e *true* caso contrário.





Algoritmo de Bellman-Ford

Terminologia

- ▶ $\Gamma^-(i)$: Conjunto de vértices antecessores do vértice atual;
- ▶ $dt[i]$: Vetor que armazena a distância entre o vértice de origem e o vértice i ;
- ▶ $rot[i]$: Vetor que armazena o índice do vértice anterior ao vértice i , no caminho cuja distância está armazenada em $dt[i]$;
- ▶ $altera$: Variável *booleana* que indica se houve alguma atualização na iteração atual.





Algoritmo de Bellman-Ford

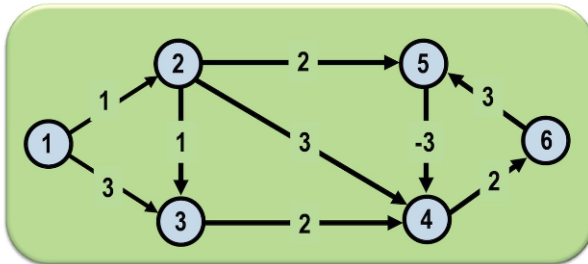
Entrada: Grafo $G = (V, E)$ e matriz de pesos $D = \{d_{ij}\}$ para todos os arcos (i, j)

```
1  $dt[1] \leftarrow 0$ ;  $rot[1] \leftarrow \infty$ ; //considerando o vértice 1 como o inicial
2 para  $i \leftarrow 2$  até  $n$  faça
3   se  $\exists (1, i) \in E$  então  $rot[i] \leftarrow 1$ ;  $dt[i] \leftarrow d_{1i}$ ;
4   senão  $rot[i] \leftarrow 0$ ;  $dt[i] \leftarrow \infty$ ;
5 fim
6 para  $k \leftarrow 1$  até  $n-1$  faça
7   altera  $\leftarrow$  falso;
8   para  $i \leftarrow 2$  até  $n$  faça
9     para  $j \in \Gamma^-(i)$  faça
10      se  $dt[i] > dt[j] + d_{ji}$  então
11         $dt[i] \leftarrow dt[j] + d_{ji}$ ;
12         $rot[i] \leftarrow j$ ;
13        altera  $\leftarrow$  verdadeiro; //indica que houve alteração
14      fim
15    fim
16  fim
17  se altera = falso então  $k \leftarrow n$ ;
18 fim
```



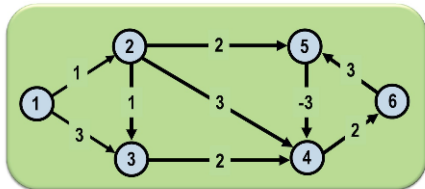


Exemplo





Exemplo



<i>dt</i>				
2	3	4	5	6
1	3	∞	∞	∞

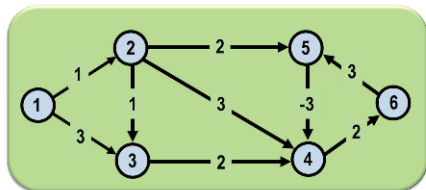
<i>rot</i>				
2	3	4	5	6
1	1	0	0	0

Vetores após a inicialização do algoritmo.





Exemplo



$$i=2, \Gamma^-(i)=\{1\};$$

$$\triangleright j=1, dt[1]+d_{12} = 1$$

<i>dt</i>				
2	3	4	5	6
1	3	∞	∞	∞

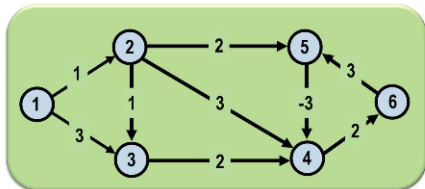
<i>rot</i>				
2	3	4	5	6
1	1	0	0	0

Iteração $k=1$ (continua...)





Exemplo



$$i=3, \Gamma^-(i)=\{1, 2\};$$

$$\triangleright j=1, dt[1]+d_{13} = 3$$

$$\triangleright j=2, dt[2]+d_{23} = \mathbf{2}$$

<i>dt</i>				
2	3	4	5	6
1	2	∞	∞	∞

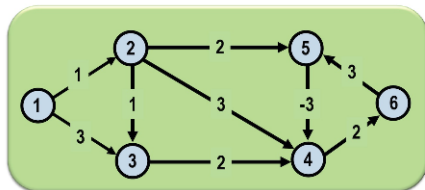
<i>rot</i>				
2	3	4	5	6
1	2	0	0	0

Iteração $k=1$ (continua...)





Exemplo



$$i=4, \Gamma^-(i)=\{2, 3, 5\};$$

$$\triangleright j=2, dt[2]+d_{24} = 4$$

$$\triangleright j=3, dt[3]+d_{34} = 4$$

$$\triangleright j=5, dt[5]+d_{54} = \infty$$

<i>dt</i>				
2	3	4	5	6
1	2	4	∞	∞

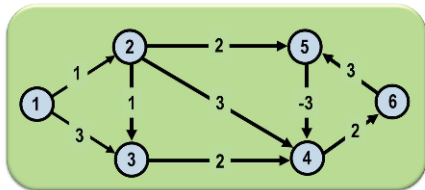
<i>rot</i>				
2	3	4	5	6
1	2	2	0	0

Iteração $k=1$ (continua...)





Exemplo



$$i=5, \Gamma^-(i)=\{2, 6\};$$

$$\triangleright j=2, dt[2]+d_{25} = \mathbf{3}$$

$$\triangleright j=6, dt[6]+d_{65} = \infty$$

<i>dt</i>				
2	3	4	5	6
1	2	4	3	∞

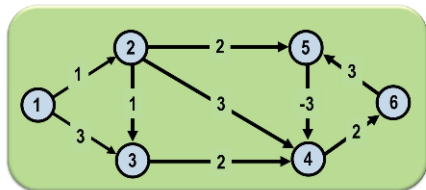
<i>rot</i>				
2	3	4	5	6
1	2	2	2	0

Iteração $k=1$ (continua...)





Exemplo



$$i=2, \Gamma^-(i)=\{1\};$$

► $j=1, dt[1]+d_{12} = 1$

<i>dt</i>				
2	3	4	5	6
1	2	4	3	6

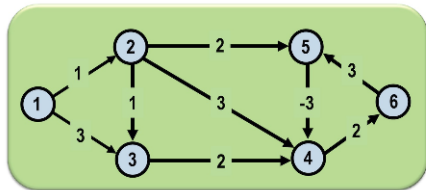
<i>rot</i>				
2	3	4	5	6
1	2	2	2	4

Iteração $k=2$ (continua...)





Exemplo



$$i=3, \Gamma^-(i)=\{1, 2\};$$

$$\triangleright j=1, dt[1]+d_{13} = 3$$

$$\triangleright j=2, dt[2]+d_{23} = 2$$

<i>dt</i>				
2	3	4	5	6
1	2	4	3	6

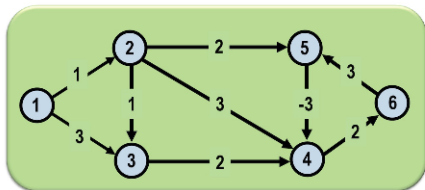
<i>rot</i>				
2	3	4	5	6
1	2	2	2	4

Iteração $k=2$ (continua...)





Exemplo



$$i=4, \Gamma^-(i)=\{2, 3, 5\};$$

$$\triangleright j=2, dt[2]+d_{24} = 4$$

$$\triangleright j=3, dt[3]+d_{34} = 4$$

$$\triangleright j=5, dt[5]+d_{54} = 0$$

<i>dt</i>				
2	3	4	5	6
1	2	0	3	6

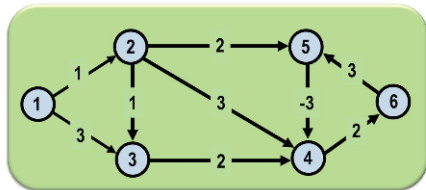
<i>rot</i>				
2	3	4	5	6
1	2	5	2	4

Iteração $k=2$ (continua...)





Exemplo



$$i=5, \Gamma^-(i)=\{2, 6\};$$

$$\triangleright j=2, dt[2]+d_{25} = 3$$

$$\triangleright j=6, dt[6]+d_{65} = 9$$

<i>dt</i>				
2	3	4	5	6
1	2	0	3	6

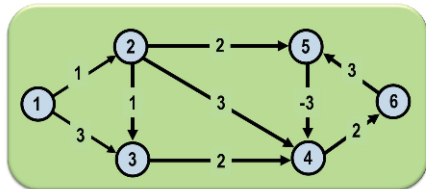
<i>rot</i>				
2	3	4	5	6
1	2	5	2	4

Iteração $k=2$ (continua...)





Exemplo



$$i=6, \Gamma^-(i)=\{4\};$$

► $j=4, dt[4] + d_{46} = 2$

dt				
2	3	4	5	6
1	2	0	3	2

<i>rot</i>				
2	3	4	5	6
1	2	5	2	4

Iteração $k=2$ (final)





Exemplo

Final

Na próxima iteração, em que $k = 3$, nenhuma alteração é realizada e o algoritmo se encerra indicando que foi possível encontrar o caminho mínimo.



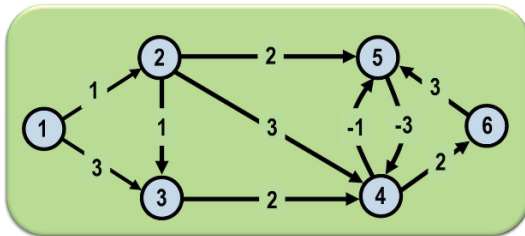


Ciclos de custo negativo

Bellman-Ford - Detecção

Em caminhos sem ciclos, o caminho mais longo consiste em $n - 1$ arestas, ou iterações no laço principal do algoritmo.

Caso ocorra alguma atualização de distância na iteração n do algoritmo, é detectado um ciclo de peso negativo.



Exemplo de ciclo negativo entre os vértices 4 e 5.





Bellman-Ford

Complexidade

Em uma implementação simples, o laço principal é repetido no máximo $n - 1$ vezes. A cada iteração, são calculados caminhos com k arestas entre a origem e os demais vértices. Para cada um dos $n - 1$ vértices, todos os seus antecessores são examinados. O vértice original não é atualizado, logo $n - 2$ antecessores são analisados no máximo. Logo, a complexidade é limitada por $\mathcal{O}(n^3)$.





Bellman-Ford

Complexidade

Em uma implementação simples, o laço principal é repetido no máximo $n - 1$ vezes. A cada iteração, são calculados caminhos com k arestas entre a origem e os demais vértices. Para cada um dos $n - 1$ vértices, todos os seus antecessores são examinados. O vértice original não é atualizado, logo $n - 2$ antecessores são analisados no máximo. Logo, a complexidade é limitada por $\mathcal{O}(n^3)$.

Em 1970, Jin Yen^a propôs uma implementação deste método de complexidade $\mathcal{O}(nm)$.

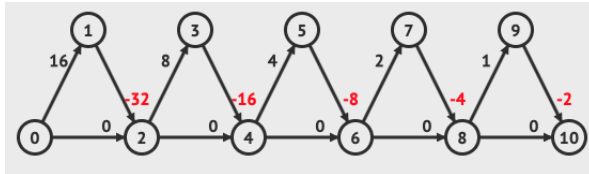
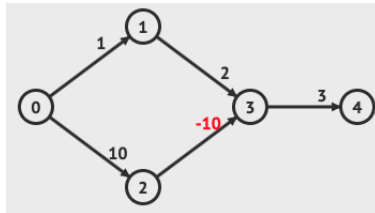
^aYen, Jin Y. (1970). "An algorithm for finding shortest routes from all source nodes to a given destination in general networks". Quarterly of Applied Mathematics 27: 526–530.





Exercício

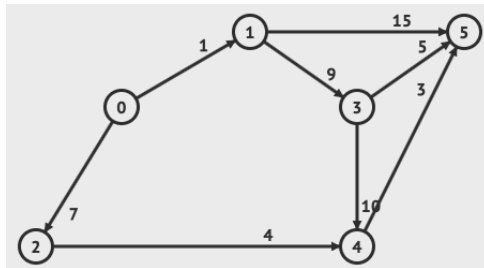
Execute o algoritmo de Bellman-Ford para o grafo abaixo. Considere o vértice de saída como 0:





Exercício

Execute o algoritmo de Bellman-Ford para o grafo abaixo. Considere o vértice de saída como 0:





Exercício

Execute o algoritmo de Bellman-Ford para o grafo abaixo. Considere o vértice de saída como S:

